

Le formalisme Post-Newtonien et ses régularisations

Antoine Dierckx

Gravitational Waves - PHYS-F484

10 juin 2025

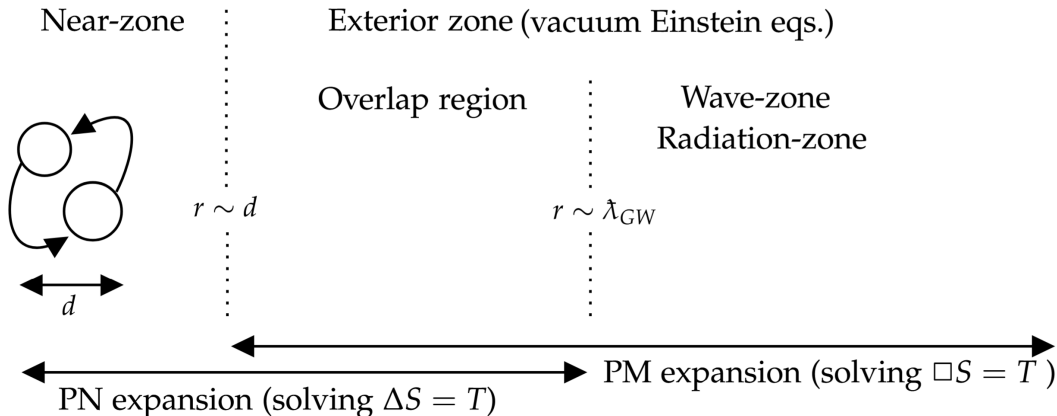
Contents

1. Motivation & échelles
2. Relativité Générale
3. Expansion post-newtonienne
4. Sources compactes binaires
5. Régularisation de Hadamard
6. Régularisation dimensionnelle
7. Conclusions

Motivation & échelles

Motivation & échelles

$$\lambda_{\text{GW}} \sim \frac{c}{\omega_{\text{GW}}} \sim \frac{c}{\omega_s} \sim \frac{c}{v} d \sim \frac{1}{\beta} d \quad (1)$$



Relativité Générale

Choix de l'action et de la jauge

- Action d'Einstein-Hilbert $S_{\text{EH}}[g, \partial g, \partial^2 g]$

Choix de l'action et de la jauge

- Action d'Einstein-Hilbert $S_{\text{EH}}[g, \partial g, \partial^2 g]$
- Action de Landau-Lifshitz $S_{\text{LL}}[g, \partial g]$

Choix de l'action et de la jauge

- Action d'Einstein-Hilbert $S_{\text{EH}}[g, \partial g, \partial^2 g]$
- Action de Landau-Lifshitz $S_{\text{LL}}[g, \partial g]$
- Métrique densifiée $G^{\mu\nu} = \sqrt{-g}g^{\mu\nu}$

$$S_{\text{LL}}[g, \partial g] \rightarrow S_{\text{LL}}[G, \partial G]$$

Choix de l'action et de la jauge

- Action d'Einstein-Hilbert $S_{\text{EH}}[g, \partial g, \partial^2 g]$
- Action de Landau-Lifshitz $S_{\text{LL}}[g, \partial g]$
- Métrique densifiée $G^{\mu\nu} = \sqrt{-g}g^{\mu\nu}$

$$S_{\text{LL}}[g, \partial g] \rightarrow S_{\text{LL}}[G, \partial G]$$

- Choix de la jauge harmonique

$$\partial_\mu G^{\mu\nu} = 0 \tag{2}$$

Choix de l'action et de la jauge

- Action d'Einstein-Hilbert $S_{\text{EH}}[g, \partial g, \partial^2 g]$
- Action de Landau-Lifshitz $S_{\text{LL}}[g, \partial g]$
- Métrique densifiée $G^{\mu\nu} = \sqrt{-g}g^{\mu\nu}$

$$S_{\text{LL}}[g, \partial g] \rightarrow S_{\text{LL}}[G, \partial G]$$

- Choix de la jauge harmonique

$$\partial_\mu G^{\mu\nu} = 0 \tag{2}$$

\implies ajout d'un terme à l'action identiquement nul : $\int (\partial \cdot G)^2 = 0$

Fixation de jauge à la Fadeev-Popov

$$\mathcal{Z} = \int \mathcal{D}[G] \exp \left(i \frac{c^3}{16\pi G_N} S[G] \right) \quad (3)$$

(6)

Fixation de jauge à la Fadeev-Popov

$$\mathcal{Z} = \int \mathcal{D}[G] \exp \left(i \frac{c^3}{16\pi G_N} S[G] \right) \quad (3)$$

$$\delta[\partial_\mu G^{\mu\nu}] = \mathcal{N} \int \mathcal{D}[B] \exp \left(i \frac{c^3}{16\pi G_N} \int d^4x B_\nu \partial_\mu G^{\mu\nu} \right) \quad (4)$$

(6)

Fixation de jauge à la Fadeev-Popov

$$\mathcal{Z} = \int \mathcal{D}[G] \exp \left(i \frac{c^3}{16\pi G_N} S[G] \right) \quad (3)$$

$$\delta[\partial_\mu G^{\mu\nu}] = \mathcal{N} \int \mathcal{D}[B] \exp \left(i \frac{c^3}{16\pi G_N} \int d^4x B_\nu \partial_\mu G^{\mu\nu} \right) \quad (4)$$

$$= \mathcal{N}' \int \mathcal{D}[B] \exp \left(i \frac{c^3}{16\pi G_N} \int d^4x \left\{ B_\nu \partial_\mu G^{\mu\nu} - \frac{1}{2} B_\nu B^\nu \right\} \right) \quad (5)$$

$$(6)$$

Fixation de jauge à la Fadeev-Popov

$$\mathcal{Z} = \int \mathcal{D}[G] \exp \left(i \frac{c^3}{16\pi G_N} S[G] \right) \quad (3)$$

$$\delta[\partial_\mu G^{\mu\nu}] = \mathcal{N} \int \mathcal{D}[B] \exp \left(i \frac{c^3}{16\pi G_N} \int d^4x B_\nu \partial_\mu G^{\mu\nu} \right) \quad (4)$$

$$= \mathcal{N}' \int \mathcal{D}[B] \exp \left(i \frac{c^3}{16\pi G_N} \int d^4x \left\{ B_\nu \partial_\mu G^{\mu\nu} - \frac{1}{2} B_\nu B^\nu \right\} \right) \quad (5)$$

$$= \mathcal{N}'' \int \mathcal{D}[\tilde{B}] \exp \left(i \frac{c^3}{16\pi G_N} \int d^4x \frac{1}{2} \partial_\alpha G^{\alpha\nu} \partial_\beta G^\beta{}_\nu \right) \quad (6)$$

Équations d'Einstein

$$S = S_{\text{LL}} \tag{7}$$

$$= \frac{c^3}{32\pi G_N} \int d^4x \left\{ -\frac{1}{2} \left(G_{\mu\rho} G_{\nu\sigma} - \frac{1}{2} G_{\mu\nu} G_{\rho\sigma} \right) G^{\lambda\tau} \partial_\lambda G^{\mu\nu} \partial_\tau G^{\rho\sigma} \right. \\ \left. + G_{\mu\nu} \left(\partial_\rho G^{\mu\sigma} \partial_\sigma G^{\nu\rho} \right) \right\} \tag{8}$$

Équations d'Einstein

$$S = S_{\text{LL}} + S_{\text{g.f.}} \tag{7}$$

$$= \frac{c^3}{32\pi G_N} \int d^4x \left\{ -\frac{1}{2} \left(G_{\mu\rho} G_{\nu\sigma} - \frac{1}{2} G_{\mu\nu} G_{\rho\sigma} \right) G^{\lambda\tau} \partial_\lambda G^{\mu\nu} \partial_\tau G^{\rho\sigma} \right. \\ \left. + G_{\mu\nu} (\partial_\rho G^{\mu\sigma} \partial_\sigma G^{\nu\rho} - \partial_\rho G^{\mu\rho} \partial_\sigma G^{\nu\sigma}) \right\} \tag{8}$$

Équations d'Einstein

$$S = S_{\text{LL}} + S_{\text{g.f.}} + S_{\text{matière}} \quad (7)$$

$$= \frac{c^3}{32\pi G_N} \int d^4x \left\{ -\frac{1}{2} \left(G_{\mu\rho} G_{\nu\sigma} - \frac{1}{2} G_{\mu\nu} G_{\rho\sigma} \right) G^{\lambda\tau} \partial_\lambda G^{\mu\nu} \partial_\tau G^{\rho\sigma} \right. \\ \left. + G_{\mu\nu} (\partial_\rho G^{\mu\sigma} \partial_\sigma G^{\nu\rho} - \partial_\rho G^{\mu\rho} \partial_\sigma G^{\nu\sigma}) \right\} + S_{\text{matière}} \quad (8)$$

Équations d'Einstein linéarisées

$$\left\{ \begin{array}{ll} \square G^{\mu\nu} \equiv G^{\rho\sigma} \partial_\rho \partial_\sigma G^{\mu\nu} = \frac{16\pi G_{\mathcal{N}}}{c^4} |g| T^{\mu\nu} + \Sigma^{\mu\nu}[G, \partial G] & \text{EOM} \\ \nabla_\mu T^{\mu\nu} = 0 & \text{Bianchi} \end{array} \right. \quad \begin{array}{l} (9a) \\ (9b) \end{array}$$

$$\partial^2 h^{\mu\nu} = \frac{16\pi G_{\mathcal{N}}}{c^4} T^{\mu\nu} + \Lambda^{\mu\nu} \quad (10)$$

avec $\partial^2 \equiv \eta \cdot \partial \cdot \partial$ et $\Lambda^{\mu\nu} = \Sigma^{\mu\nu} - h^{\rho\sigma} \partial_\rho \partial_\sigma h^{\mu\nu} \sim \mathcal{O}(h^2)$

Expansion post-newtonienne

Expansion post-newtonienne

- Expansion en $\beta = v/c$

$$\bar{h}^{\mu\nu} \equiv h^{\mu\nu}|_{\text{interior}} = \sum_{n=2}^{\infty} \frac{1}{\beta^{-n}} \bar{h}_{(n)}^{\mu\nu} \quad (11)$$

$$\bar{\tau}^{\mu\nu} \equiv \left(\frac{16\pi G_{\mathcal{N}}}{c^4} T^{\mu\nu} + \Lambda^{\mu\nu} \right) \Big|_{\text{interior}} = \sum_{n=-2}^{\infty} \frac{1}{\beta^{-n}} \bar{\tau}_{(n)}^{\mu\nu} \quad (12)$$

Expansion post-newtonienne

- Expansion en $\beta = v/c$

$$\bar{h}^{\mu\nu} \equiv h^{\mu\nu}|_{\text{interior}} = \sum_{n=2}^{\infty} \frac{1}{\beta^{-n}} \bar{h}_{(n)}^{\mu\nu} \quad (11)$$

$$\bar{\tau}^{\mu\nu} \equiv \left(\frac{16\pi G_{\mathcal{N}}}{c^4} T^{\mu\nu} + \Lambda^{\mu\nu} \right) \Big|_{\text{interior}} = \sum_{n=-2}^{\infty} \frac{1}{\beta^{-n}} \bar{\tau}_{(n)}^{\mu\nu} \quad (12)$$

- Ordre de l'expansion

$$n\text{PN} = \mathcal{O}(\beta^{2n}) \quad (13)$$

Expansion post-newtonienne

- Expansion en $\beta = v/c$

$$\bar{h}^{\mu\nu} \equiv h^{\mu\nu}|_{\text{interior}} = \sum_{n=2}^{\infty} \frac{1}{\beta^{-n}} \bar{h}_{(n)}^{\mu\nu} \quad (11)$$

$$\bar{\tau}^{\mu\nu} \equiv \left(\frac{16\pi G_{\mathcal{N}}}{c^4} T^{\mu\nu} + \Lambda^{\mu\nu} \right) \Big|_{\text{interior}} = \sum_{n=-2}^{\infty} \frac{1}{\beta^{-n}} \bar{\tau}_{(n)}^{\mu\nu} \quad (12)$$

- Ordre de l'expansion

$$n\text{PN} = \mathcal{O}(\beta^{2n}) \quad (13)$$

- Résolution itérative

$$\begin{cases} \Delta \bar{h}_{(n)}^{\mu\nu} = 16\pi G_{\mathcal{N}} \bar{\tau}_{(n-4)}^{\mu\nu} [\bar{h}_{(1)}, \dots, \bar{h}_{(n-5)}] + \partial_t^2 \bar{h}_{(n-2)}^{\mu\nu} [\bar{h}_{(1)}, \dots, \bar{h}_{(n-3)}] \end{cases} \quad (14a)$$

$$\begin{cases} \partial_\mu \bar{h}_{(n)}^{\mu\nu} = 0 \end{cases} \quad (14b)$$

Ordre 0PN

- Tenseur d'énergie-impulsion

$$\left\{ \begin{array}{l} T^{00} \sim \rho c^2 \sim \mathcal{O}(c^2) \end{array} \right. \quad (15a)$$

$$\left\{ \begin{array}{l} T^{0i} \sim \rho c v^i \sim \mathcal{O}(c) \end{array} \right. \quad (15b)$$

$$\left\{ \begin{array}{l} T^{ij} \sim \rho v^i v^j \sim \mathcal{O}(1) \end{array} \right. \quad (15c)$$

Ordre 0PN

- Tenseur d'énergie-impulsion

$$\left\{ \begin{array}{l} T^{00} \sim \rho c^2 \sim \mathcal{O}(c^2) \end{array} \right. \quad (15a)$$

$$\left\{ \begin{array}{l} T^{0i} \sim \rho c v^i \sim \mathcal{O}(c) \end{array} \right. \quad (15b)$$

$$\left\{ \begin{array}{l} T^{ij} \sim \rho v^i v^j \sim \mathcal{O}(1) \end{array} \right. \quad (15c)$$

- Equation poissonienne

$$\Delta \bar{h}^{00} = \frac{16\pi G_N}{c^2} \rho \quad (16)$$

Ordre 0PN

- Tenseur d'énergie-impulsion

$$\left\{ \begin{array}{l} T^{00} \sim \rho c^2 \sim \mathcal{O}(c^2) \end{array} \right. \quad (15a)$$

$$\left\{ \begin{array}{l} T^{0i} \sim \rho c v^i \sim \mathcal{O}(c) \end{array} \right. \quad (15b)$$

$$\left\{ \begin{array}{l} T^{ij} \sim \rho v^i v^j \sim \mathcal{O}(1) \end{array} \right. \quad (15c)$$

- Equation poissonienne

$$\Delta \bar{h}^{00} = \frac{16\pi G_N}{c^2} \rho \quad (16)$$

- Equivalence avec le potentiel newtonien

$$\bar{h}^{00}(t, \vec{x}) = -\frac{4}{c^2} U(t, \vec{x}) \quad (17)$$

Sources compactes binaires

Sources compactes binaires

- Modèle de masse ponctuelle

$$\rho(t, \vec{x})/c^2 = m_1 \delta^{(3)}(\vec{x} - \vec{z}_1(t)) + m_2 \delta^{(3)}(\vec{x} - \vec{z}_2(t)) \quad (18)$$

Sources compactes binaires

- Modèle de masse ponctuelle

$$\rho(t, \vec{x})/c^2 = m_1 \delta^{(3)}(\vec{x} - \vec{z}_1(t)) + m_2 \delta^{(3)}(\vec{x} - \vec{z}_2(t)) \quad (18)$$

- Fonction de Green $\Delta G = \delta$

$$G(r) = -\frac{1}{4\pi} \frac{1}{r} \quad (19)$$

Sources compactes binaires

- Modèle de masse ponctuelle

$$\rho(t, \vec{x})/c^2 = m_1 \delta^{(3)}(\vec{x} - \vec{z}_1(t)) + m_2 \delta^{(3)}(\vec{x} - \vec{z}_2(t)) \quad (18)$$

- Fonction de Green $\Delta G = \delta$

$$G(r) = -\frac{1}{4\pi} \frac{1}{r} \quad (19)$$

- Solution newtonienne

$$U(t, \vec{x}) = \frac{G_N m_1}{r_1} + \frac{G_N m_2}{r_2} \quad (20)$$

$$-\vec{F}(\vec{x}) = \left(\frac{-G_N m_1}{r_1^2} \vec{n}_1 - \frac{G_N m_2}{r_2^2} \vec{n}_2 \right) \quad (21)$$

Sources compactes binaires

- Modèle de masse ponctuelle

$$\rho(t, \vec{x})/c^2 = m_1 \delta^{(3)}(\vec{x} - \vec{z}_1(t)) + m_2 \delta^{(3)}(\vec{x} - \vec{z}_2(t)) \quad (18)$$

- Fonction de Green $\Delta G = \delta$

$$G(r) = -\frac{1}{4\pi} \frac{1}{r} \quad (19)$$

- Solution newtonienne

$$U(t, \vec{x}) = \frac{G_N m_1}{r_1} + \frac{G_N m_2}{r_2} \quad (20)$$

$$-\vec{F}(\vec{x}) = \left(\frac{-G_N m_1}{r_1^2} \vec{n}_1 - \frac{G_N m_2}{r_2^2} \vec{n}_2 \right) \quad (21)$$

$$\vec{F}(\vec{z}_A) = \infty ?$$

Divergences et besoin de régularisation

- Dès l'ordre le plus bas, nécessité de régulariser les divergences $\vec{F}_A(\vec{z}_A)$
- Fonctions bien définies partout sauf en \vec{z}_A

$$F(\vec{x}) \underset{\lim \vec{x} \rightarrow \vec{z}_A}{=} \sum_{p_0 \leq p \leq P} r_A^p f_p^A(\vec{n}_A) + \mathcal{O}(r_A^P) \quad \forall P \in \mathbb{N}, \forall A \in \{1, 2\} \quad (22)$$

- Solution d'équation de Poisson (intégrale poissonienne aux ordres supérieurs)
- Deux approches principales :
 - Régularisation de **Hadamard** pour les ordres les plus bas
 - Régularisation **dimensionnelle** pour tout les ordres

Régularisation de Hadamard

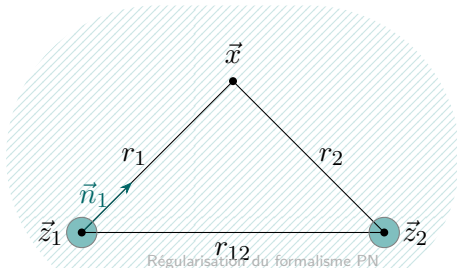
Régularisation de Hadamard - partie finie de F

Definition (Partie finie de F)

La **partie finie** de Hadamard de $F(\vec{x})$ à z_A est définie comme suit

$$\langle F \rangle_A \equiv \int \frac{d\Omega_A}{4\pi} f^A_0(\vec{n}_A) \quad (23)$$

Moyenne de $f^A_0(\vec{n}_A)$ sur l'angle solide $d\Omega_A = \sin(\theta_A)d\theta_A d\phi_A$ autour de la direction d'approche \vec{n}_A .



Régularisation de Hadamard - partie finie de F

Exemple :

$$F(\vec{x}) = \frac{1}{r_1} + \vec{a} \cdot \vec{n}_1 \text{ and } G(\vec{x}) = \frac{1}{r_1} + \vec{b} \cdot \vec{n}_1 \quad (24)$$

Régularisation de Hadamard - partie finie de F

Exemple :

$$F(\vec{x}) = \frac{1}{r_1} + \vec{a} \cdot \vec{n}_1 \text{ and } G(\vec{x}) = \frac{1}{r_1} + \vec{b} \cdot \vec{n}_1 \quad (24)$$

$$F \sim \sum r_1^p f_p^1 \text{ and } G \sim \sum r_1^p g_p^1 \quad (25)$$

we identify $f_{-1}^1 = g_{-1}^1 = 1$, $f_0^1 = \vec{a} \cdot \vec{n}_1$ and $g_0^1 = \vec{b} \cdot \vec{n}_1$. Since $\langle \vec{n}_1 \rangle_1 = 0$, we have $\langle F \rangle_1 = \langle G \rangle_1 = 0$

Régularisation de Hadamard - partie finie de F

Exemple :

$$F(\vec{x}) = \frac{1}{r_1} + \vec{a} \cdot \vec{n}_1 \text{ and } G(\vec{x}) = \frac{1}{r_1} + \vec{b} \cdot \vec{n}_1 \quad (24)$$

$$F \sim \sum r_1^p f_p^1 \text{ and } G \sim \sum r_1^p g_p^1 \quad (25)$$

we identify $f_{-1}^1 = g_{-1}^1 = 1$, $f_0^1 = \vec{a} \cdot \vec{n}_1$ and $g_0^1 = \vec{b} \cdot \vec{n}_1$. Since $\langle \vec{n}_1 \rangle_1 = 0$, we have $\langle F \rangle_1 = \langle G \rangle_1 = 0$, but

$$\langle FG \rangle_1 = a_i b_j \langle n_1^i n_1^j \rangle_1 = \frac{1}{3} \vec{a} \cdot \vec{b} \neq 0 = \langle F \rangle_1 \langle G \rangle_1 \quad (26)$$

Régularisation de Hadamard - partie finie de F

Exemple :

$$F(\vec{x}) = \frac{1}{r_1} + \vec{a} \cdot \vec{n}_1 \text{ and } G(\vec{x}) = \frac{1}{r_1} + \vec{b} \cdot \vec{n}_1 \quad (24)$$

$$F \sim \sum r_1^p f_p^1 \text{ and } G \sim \sum r_1^p g_p^1 \quad (25)$$

we identify $f_{-1}^1 = g_{-1}^1 = 1$, $f_0^1 = \vec{a} \cdot \vec{n}_1$ and $g_0^1 = \vec{b} \cdot \vec{n}_1$. Since $\langle \vec{n}_1 \rangle_1 = 0$, we have $\langle F \rangle_1 = \langle G \rangle_1 = 0$, but

$$\langle FG \rangle_1 = a_i b_j \langle n_1^i n_1^j \rangle_1 = \frac{1}{3} \vec{a} \cdot \vec{b} \neq 0 = \langle F \rangle_1 \langle G \rangle_1 \quad (26)$$

$$\langle FG \rangle_A \neq \langle F \rangle_A \langle G \rangle_A$$

Régularisation de Hadamard - Cas newtonien

- Dans le cas newtonien :

$$U(t, \vec{x}) = \frac{G_{\mathcal{N}} m_1}{r_1} + \frac{G_{\mathcal{N}} m_2}{r_2} \quad (27)$$

- Partie finie de F suffisant pour régulariser le potentiel :

$$\langle U \rangle_1 = \frac{G_{\mathcal{N}} m_2}{r_{12}} \quad (28)$$

$$\langle h^{00} \rangle_1 = -\frac{4G_{\mathcal{N}} m_2}{c^2 r_{12}} \quad (29)$$

Régularisation de Hadamard - Partie finie de $\int F$

- A l'ordre suivant, il faut résoudre une intégrale de Poisson :

$$\int_{\mathbb{R}^3} \frac{F(\vec{x})}{r(\vec{x}, \vec{z}_A)} d^3x \quad (30)$$

- Regardons le comportement de $\int F$ dans $\mathcal{B}(z_A, s)$:

$$\int_{\mathcal{B}} d^3x r^p f_p = \int_0^s r^2 dr \int d\Omega r^p f_p \quad (31)$$

(33)

Régularisation de Hadamard - Partie finie de $\int F$

- A l'ordre suivant, il faut résoudre une intégrale de Poisson :

$$\int_{\mathbb{R}^3} \frac{F(\vec{x})}{r(\vec{x}, \vec{z}_A)} d^3x \quad (30)$$

- Regardons le comportement de $\int F$ dans $\mathcal{B}(z_A, s)$:

$$\int_{\mathcal{B}} d^3x r^p f_p = \int_0^s r^2 dr \int d\Omega r^p f_p \quad (31)$$

$$= 4\pi \langle f_p \rangle \int_0^s r^{p+2} dr \quad (32)$$

$$(33)$$

Régularisation de Hadamard - Partie finie de $\int F$

- A l'ordre suivant, il faut résoudre une intégrale de Poisson :

$$\int_{\mathbb{R}^3} \frac{F(\vec{x})}{r(\vec{x}, \vec{z}_A)} d^3x \quad (30)$$

- Regardons le comportement de $\int F$ dans $\mathcal{B}(z_A, s)$:

$$\int_{\mathcal{B}} d^3x r^p f_p = \int_0^s r^2 dr \int d\Omega r^p f_p \quad (31)$$

$$= 4\pi \langle f_p \rangle \int_0^s r^{p+2} dr \quad (32)$$

$$= 4\pi \langle f_p \rangle \cdot \begin{cases} \frac{s^{p+3}}{p+3} & \text{if } p+2 \neq -1 \\ \ln(s) & \text{if } p+2 = -1 \end{cases} \quad (33)$$

Régularisation de Hadamard - Partie finie de $\int F$

Definition (Partie finie de l'intégrale de F)

La partie finie de l'intégrale de $F(\vec{x})$ sur \mathbb{R}^3 est définie comme suit :

$$\begin{aligned} \text{Pf}_{s_1, s_2} \int_{\mathbb{R}^3} d^3x F(\vec{x}) \equiv \lim_{s \rightarrow 0} \left(\int_{\mathcal{D}(s)} d^3x F + 4\pi \ln\left(\frac{s}{s_1}\right) \langle r_1^3 F \rangle_1 \right. \\ \left. + 4\pi \sum_{p+3 < 0} \frac{s^{p+3}}{p+3} \left\langle \frac{F}{r_1^p} \right\rangle_1 + \{1 \leftrightarrow 2\} \right) \end{aligned} \quad (34)$$

où $\mathcal{D}(s) = \mathbb{R}^3 \setminus \mathcal{B}(z_1, s) \cup \mathcal{B}(z_2, s)$, s_1 et s_2 sont deux paramètres de coupure, et $\mathcal{B}(z_A, s)$ est une boule de rayon s centrée sur \vec{z}_A .

Régularisation de Hadamard - Partie finie de $\int F/r$

- Pour résoudre $\Delta P = F$, il faut régulariser l'intégrale de Poisson :

$$P(\vec{x}') = -\frac{1}{4\pi} \text{Pf}_{s_1, s_2} \int_{\mathbb{R}^3} d^3x \frac{F(\vec{x})}{|\vec{x} - \vec{x}'|} \quad (35)$$

Lorsque $\vec{x}' \rightarrow \vec{z}_A$, $P(\vec{z}_A)$ diverge logarithmiquement ; il faut un contre-terme supplémentaire.

Definition (partie finie de l'intégrale de Poisson)

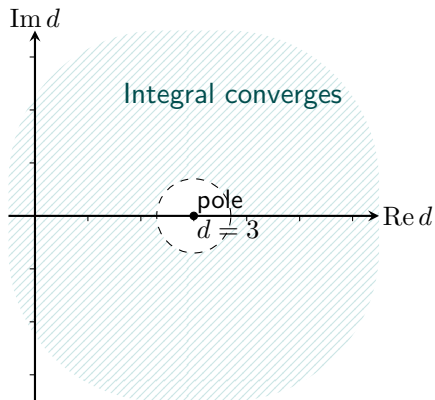
$$\langle P \rangle_1 = -\frac{1}{4\pi} \text{Pf}_{s_1, s_2} \int d^3x \frac{F(\vec{x})}{r_1} + \left\{ \ln\left(\frac{r'_1}{s_1}\right) - 1 \right\} \langle r_1^2 F \rangle_1 \quad (36)$$

Régularisation dimensionnelle

Régularisation dimensionnelle

- Conserve l'invariance par difféomorphisme des équations d'Einstein
- Analogue aux techniques de régularisation en QFT

$$D = d + 1 \qquad d \in \mathbb{C} \qquad \epsilon = 3 - d \qquad (37)$$



Equations d'Einstein en dimension d

- Même structure que les équations d'Einstein en 4 dimensions

$$R^{\mu\nu} - \frac{1}{2}g^{\mu\nu}R = \frac{8\pi G_{\mathcal{N}}^{(d)}}{c^4}T^{\mu\nu} \quad (38)$$

avec $G_{\mathcal{N}}^{(d)} = G_{\mathcal{N}}l_0^{d-3}$ et l_0^{d-3} est une longueur constante associée à la dimreg.

- Équations du mouvement en dimension D :

$$\partial^2 h^{\mu\nu} = \frac{16\pi G_{\mathcal{N}}^{(d)}}{c^4}|g|T^{\mu\nu} + \Lambda^{\mu\nu} \quad (39)$$

Fonction de Green en dimension d

- Il faut résoudre l'équation de Poisson en dimension d :

$$\Delta G^{(d)} = -4\pi\delta^{(d)} \quad (40)$$

- Solution justifiée dans les notes :

$$G^{(d)}(r) = k^{(d)}r^{2-d} \quad \text{with } k^{(d)} = \frac{4\pi}{d-2} \frac{1}{\Omega^{(d-1)}} \quad (41)$$

Expansion et partie finie en dimension d

- Expansion de Laurent en r et $d - 3$:

$$F^{(d)}(\vec{x}) \underset{\substack{\lim_{\vec{x} \rightarrow \vec{z}_A} \\ \lim_{d \rightarrow 3}}}{=} \sum_{\substack{p_0 \leq p \leq P \\ q_0 \leq q \leq Q}} r_1^{p+q\epsilon} f_{p,q}^{1(\epsilon)}(\vec{n}_1) + \mathcal{O}(r_1^P) + \mathcal{O}(r_1^{Q\epsilon}) \quad (42)$$

Expansion et partie finie en dimension d

- Expansion de Laurent en r et $d - 3$:

$$F^{(d)}(\vec{x}) \underset{\substack{\lim_{\vec{x} \rightarrow \vec{z}_A} \\ \lim_{d \rightarrow 3}}}{=} \sum_{\substack{p_0 \leq p \leq P \\ q_0 \leq q \leq Q}} r_1^{p+q\epsilon} f_{p,q}^{1(\epsilon)}(\vec{n}_1) + \mathcal{O}(r_1^P) + \mathcal{O}(r_1^{Q\epsilon}) \quad (42)$$

- Partie finie de Hadamard en dimension d :

$$\left\langle f_{p,q}^{1(\epsilon)} \right\rangle_1 = \int d\Omega_1^{(d-1)} f_{p,q}^{1(\epsilon)}(\vec{n}_1) \quad (43)$$

Expansion et partie finie en dimension d

- Expansion de Laurent en r et $d - 3$:

$$F^{(d)}(\vec{x}) \underset{\substack{\lim_{\vec{x} \rightarrow \vec{z}_A} \\ \lim_{d \rightarrow 3}}}{=} \sum_{\substack{p_0 \leq p \leq P \\ q_0 \leq q \leq Q}} r_1^{p+q\epsilon} f_{p,q}^{1(\epsilon)}(\vec{n}_1) + \mathcal{O}(r_1^P) + \mathcal{O}(r_1^{Q\epsilon}) \quad (42)$$

- Partie finie de Hadamard en dimension d :

$$\left\langle f_{p,q}^{1(\epsilon)} \right\rangle_1 = \int d\Omega_1^{(d-1)} f_{p,q}^{1(\epsilon)}(\vec{n}_1) \quad (43)$$

- Intégrale de Poisson en dimension d :

$$P^{(d)}(\vec{z}_1) = -\frac{k^{(d)}}{4\pi} \int d^d x \frac{F^{(d)}(\vec{x})}{r_1^{d-2}} \quad (44)$$

Comportement de $P^{(d)}$ autour de z_1

$$P^{(d)}(z_1)\Big|_{\mathcal{B}(z_1,s)} = \frac{k^{(d)}}{4\pi} \int_{\mathcal{B}(z_1,s)} r^{d-1} dr d\Omega^{(d-1)} \sum_{p,q} r^{p+q\epsilon} f_{p,q}^{1(\epsilon)}(\vec{n}_1) r^{2-d} \quad (45a)$$

(45d)

Comportement de $P^{(d)}$ autour de z_1

$$P^{(d)}(z_1) \Big|_{\mathcal{B}(z_1, s)} = \frac{k^{(d)}}{4\pi} \int_{\mathcal{B}(z_1, s)} r^{d-1} dr d\Omega^{(d-1)} \sum_{p,q} r^{p+q\epsilon} f_{p,q}^{1(\epsilon)}(\vec{n}_1) r^{2-d} \quad (45a)$$

$$= \frac{k^{(d)}}{4\pi} \sum_{p,q} \left\langle f_{p,q}^{1(\epsilon)} \right\rangle_1 \int_0^s r^{p+q\epsilon+1} dr \quad (45b)$$

(45d)

Comportement de $P^{(d)}$ autour de z_1

$$P^{(d)}(z_1) \Big|_{\mathcal{B}(z_1, s)} = \frac{k^{(d)}}{4\pi} \int_{\mathcal{B}(z_1, s)} r^{d-1} dr d\Omega^{(d-1)} \sum_{p,q} r^{p+q\epsilon} f_{p,q}^{1(\epsilon)}(\vec{n}_1) r^{2-d} \quad (45a)$$

$$= \frac{k^{(d)}}{4\pi} \sum_{p,q} \left\langle f_{p,q}^{1(\epsilon)} \right\rangle_1 \int_0^s r^{p+q\epsilon+1} dr \quad (45b)$$

$$= \frac{k^{(d)}}{4\pi} \sum_{p,q} \left\langle f_{p,q}^{1(\epsilon)} \right\rangle_1 \frac{s^{p+q\epsilon+2}}{p+q\epsilon+2} \quad (45c)$$

$$(45d)$$

Comportement de $P^{(d)}$ autour de z_1

$$P^{(d)}(z_1) \Big|_{\mathcal{B}(z_1, s)} = \frac{k^{(d)}}{4\pi} \int_{\mathcal{B}(z_1, s)} r^{d-1} dr d\Omega^{(d-1)} \sum_{p,q} r^{p+q\epsilon} f_{p,q}^{1(\epsilon)}(\vec{n}_1) r^{2-d} \quad (45a)$$

$$= \frac{k^{(d)}}{4\pi} \sum_{p,q} \left\langle f_{p,q}^{1(\epsilon)} \right\rangle_1 \int_0^s r^{p+q\epsilon+1} dr \quad (45b)$$

$$= \frac{k^{(d)}}{4\pi} \sum_{p,q} \left\langle f_{p,q}^{1(\epsilon)} \right\rangle_1 \frac{s^{p+q\epsilon+2}}{p+q\epsilon+2} \quad (45c)$$

$$= \frac{k^{(d)}}{4\pi} \sum_q \left\langle f_{-2,q}^{1(\epsilon)} \right\rangle_1 \left(\frac{1}{q\epsilon} + \ln \left(\frac{s}{s_1} \right) \right) + \text{termes réguliers en } \epsilon \quad (45d)$$

Comportement de $P^{(d)}$ autour de z_2

$$P^{(d)}(z_1) \Big|_{\mathcal{B}(z_2, s)} = \frac{k^{(d)}}{4\pi} \int_{\mathcal{B}(z_2, s)} r^{d-1} dr d\Omega^{(d-1)} \sum_{p,q} r^{p+q\epsilon} f_{p,q}^{2(\epsilon)}(\vec{n}_2) \sum_{\ell=0}^{\infty} \frac{(-1)^\ell}{\ell!} \partial_L \left(\frac{1}{r_{12}^{d-2}} \right) r^\ell n_2^L$$

(46a)

(46d)

Comportement de $P^{(d)}$ autour de z_2

$$P^{(d)}(z_1) \Big|_{\mathcal{B}(z_2, s)} = \frac{k^{(d)}}{4\pi} \int_{\mathcal{B}(z_2, s)} r^{d-1} dr d\Omega^{(d-1)} \sum_{p,q} r^{p+q\epsilon} f_{p,q}^{2(\epsilon)}(\vec{n}_2) \sum_{\ell=0}^{\infty} \frac{(-1)^\ell}{\ell!} \partial_L \left(\frac{1}{r_{12}^{d-2}} \right) r^\ell n_2^L \quad (46a)$$

$$= \frac{k^{(d)}}{4\pi} \sum_{p,q} \sum_{\ell=0}^{\infty} \left\langle n_2^L f_{p,q}^{2(\epsilon)} \right\rangle_2 \frac{(-1)^\ell}{\ell!} \partial_L \left(\frac{1}{r_{12}^{d-2}} \right) \int_0^s r^{d-1+p+q\epsilon+\ell} dr \quad (46b)$$

(46d)

Comportement de $P^{(d)}$ autour de z_2

$$P^{(d)}(z_1) \Big|_{\mathcal{B}(z_2, s)} = \frac{k^{(d)}}{4\pi} \int_{\mathcal{B}(z_2, s)} r^{d-1} dr d\Omega^{(d-1)} \sum_{p,q} r^{p+q\epsilon} f_{p,q}^{2(\epsilon)}(\vec{n}_2) \sum_{\ell=0}^{\infty} \frac{(-1)^\ell}{\ell!} \partial_L \left(\frac{1}{r_{12}^{d-2}} \right) r^\ell n_2^L \quad (46a)$$

$$= \frac{k^{(d)}}{4\pi} \sum_{p,q} \sum_{\ell=0}^{\infty} \left\langle n_2^L f_{p,q}^{2(\epsilon)} \right\rangle_2 \frac{(-1)^\ell}{\ell!} \partial_L \left(\frac{1}{r_{12}^{d-2}} \right) \int_0^s r^{d-1+p+q\epsilon+\ell} dr \quad (46b)$$

$$= \frac{k^{(d)}}{4\pi} \sum_{p,q} \sum_{\ell=0}^{\infty} \left\langle n_2^L f_{p,q}^{2(\epsilon)} \right\rangle_2 \frac{(-1)^\ell}{\ell!} \partial_L \left(\frac{1}{r_{12}^{d-2}} \right) \frac{s^{\epsilon(q+1)+p+\ell+3}}{\epsilon(q+1)+p+\ell+3} \quad (46c)$$

$$(46d)$$

Comportement de $P^{(d)}$ autour de z_2

$$P^{(d)}(z_1) \Big|_{\mathcal{B}(z_2, s)} = \frac{k^{(d)}}{4\pi} \int_{\mathcal{B}(z_2, s)} r^{d-1} dr d\Omega^{(d-1)} \sum_{p,q} r^{p+q\epsilon} f_{p,q}^{2(\epsilon)}(\vec{n}_2) \sum_{\ell=0}^{\infty} \frac{(-1)^\ell}{\ell!} \partial_L \left(\frac{1}{r_{12}^{d-2}} \right) r^\ell n_2^L \quad (46a)$$

$$= \frac{k^{(d)}}{4\pi} \sum_{p,q} \sum_{\ell=0}^{\infty} \left\langle n_2^L f_{p,q}^{2(\epsilon)} \right\rangle_2 \frac{(-1)^\ell}{\ell!} \partial_L \left(\frac{1}{r_{12}^{d-2}} \right) \int_0^s r^{d-1+p+q\epsilon+\ell} dr \quad (46b)$$

$$= \frac{k^{(d)}}{4\pi} \sum_{p,q} \sum_{\ell=0}^{\infty} \left\langle n_2^L f_{p,q}^{2(\epsilon)} \right\rangle_2 \frac{(-1)^\ell}{\ell!} \partial_L \left(\frac{1}{r_{12}^{d-2}} \right) \frac{s^{\epsilon(q+1)+p+\ell+3}}{\epsilon(q+1)+p+\ell+3} \quad (46c)$$

$$= \frac{k^{(d)}}{4\pi} \sum_q \sum_{\ell=0}^{\infty} \left\langle n_2^L f_{-\ell-3,q}^{2(\epsilon)} \right\rangle_2 \frac{(-1)^\ell}{\ell!} \partial_L \left(\frac{1}{r_{12}^{d-2}} \right) \left(\frac{1}{\epsilon(q+1)} + \ln \left(\frac{s}{s_2} \right) \right) \\ + \text{termes réguliers en } \epsilon \quad (46d)$$

Résultat final : correction à la régularisation d'Hadamard

La correction à la régularisation d'Hadamard est donnée par :

$$\mathcal{D}P_A \equiv \left\langle P^{(d)} \right\rangle_A^{\text{DR}} - \langle P \rangle_A \quad (47)$$

La correction de régularisation de l'intégrale de Poisson $\mathcal{D}P_1$ est donnée par :

$$\begin{aligned} \mathcal{D}P_1 = & -\frac{k^{(d)}}{4\pi} \left(\sum_{q_0 \leq q \leq q_1} \left(\frac{1}{q\epsilon} + \ln(\mathbf{r}'_1) - 1 \right) \left\langle f_{-2,q}^{1(\epsilon)} \right\rangle_1 \right. \\ & \left. + \sum_{q_0 \leq q \leq q_1} \left(\frac{1}{(q+1)\epsilon} + \ln(\mathbf{s}_2) \right) \sum_{\ell=0}^{\infty} \frac{(-1)^\ell}{\ell!} \partial_L \left(\frac{1}{r_{12}^{1+\epsilon}} \right) \left\langle n_2^L f_{-\ell-3,q}^{2(\epsilon)} \right\rangle_2 + \mathcal{O}(\epsilon) \right) \end{aligned} \quad (48)$$

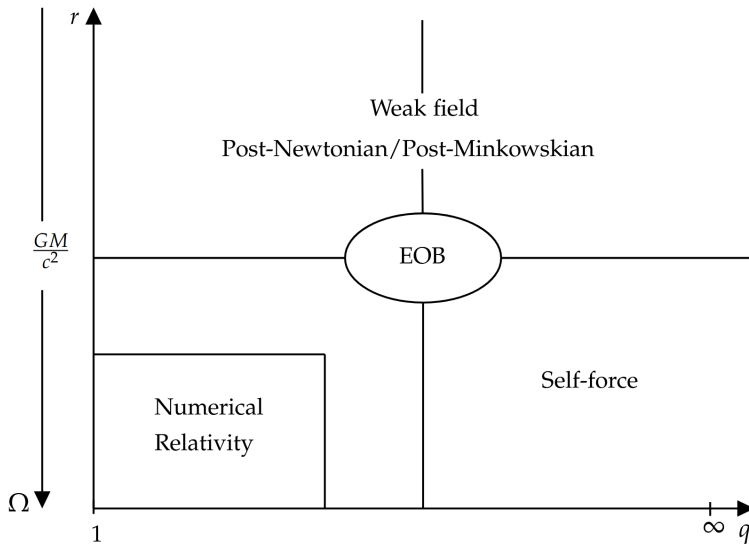
→ Compensation des paramètres de coupure \mathbf{r}'_1 et \mathbf{s}_2 : **dimreg indépendante des paramètres de coupure.**

Conclusions

Conclusions

- Hadamard : pratique mais non distributif \rightarrow ambiguïtés à l'ordre 3PN
 - Dimreg : *parameter-free* et conserve l'invariance par difféomorphisme
- \hookrightarrow pour 3PN et au-delà, il faut régulariser dimensionnellement.

Backup slides



Backup slides

$$\begin{aligned}
 \frac{d\mathbf{v}_1}{dt} = & - \frac{Gm_2}{r_{12}^2} \mathbf{n}_{12} \\
 & \underbrace{\hspace{10em}}_{\text{1PN Lorentz-Droste-Einstein-Infeld-Hoffmann term}} \\
 & + \frac{1}{c^2} \left\{ \left[\frac{5G^2 m_1 m_2}{r_{12}^3} + \frac{4G^2 m_2^2}{r_{12}^3} + \dots \right] \mathbf{n}_{12} + \dots \right\} \\
 & + \underbrace{\frac{1}{c^4} [\dots]}_{\text{2PN}} + \underbrace{\frac{1}{c^5} [\dots]}_{\substack{\text{2.5PN} \\ \text{radiation reaction}}} + \underbrace{\frac{1}{c^6} [\dots]}_{\text{3PN}} + \underbrace{\frac{1}{c^7} [\dots]}_{\substack{\text{3.5PN} \\ \text{radiation reaction}}} + \underbrace{\frac{1}{c^8} [\dots]}_{\substack{\text{4PN} \\ \text{conservative \& radiation tail}}} + \mathcal{O}\left(\frac{1}{c^9}\right)
 \end{aligned}$$